

4-1 مقدمه:

باتوجه به آنچه که در سه بخش قبل مرور شد، توزیع تنش، کرنش و تغییر مکان در یک جسم الاستیک تحت بارگذاری خاص، باتوجه به شرایط پایه‌ای زیر می‌تواند بدست آید؛

۱- روابط تعادل باید در تمام جسم برقرار باشد،

۲- روابط الاستیک خطی تنش - کرنش (روابط هوک) در جسم صادق باشد،

۳- اجزاء کرنش بدست آمده از مشتقات تغییر مکان با هم سازش داشته باشند،

۴- میدانهای تنش، کرنش و تغییر مکان با شرایط بارگذاری و شرایط مرزی هم‌آهنگی داشته باشند.

با استفاده از شرایط فوق می‌توان روابط الاستیسیته را بدست آورد. برای مسائل سه محوری در الاستیسیته لازم است 15 مقدار زیر محاسبه گردند: شش مؤلفه تنش، شش مؤلفه کرنش و سه مؤلفه تغییر مکان.

این 15 مقدار باید 15 رابطه الاستیسیته و شرایط مرزی را ارضاء نمایند. 15 رابطه الاستیسیته عبارتند از: سه رابطه تعادل، شش رابطه تنش - کرنش، و شش رابطه کرنش - تغییر مکان. باید توجه داشت که روابط سازش از روابط کرنش - تغییر مکان بدست می‌آیند که خود در 15 رابطه فوق منظور شده‌اند. در نتیجه اگر 15 رابطه ارضاء شوند، روابط سازش نیز برقرار خواهند بود. مسائل سه محوری اغلب به روابط پیچیده‌ای می‌رسند و در این کتاب مورد بحث قرار نمی‌گیرند.

در بسیاری از مسائل مهندسی با استفاده از فرضهای ساده‌کننده‌ای می‌توان به نتایج قابل قبول دست یافت. بدین طریق برخی مسائل سه محوری به دو محوری تقلیل می‌یابد که راه حل ساده‌تری دارند. در این رابطه دو حالت «کرنش صفحه‌ای»⁽¹⁾ و «تنش صفحه‌ای»⁽²⁾ از اهمیت خاصی برخوردار است و در این بخش مورد تحلیل و بررسی

قرار می‌گیرد.

4-2 مسائل کرنش صفحه‌ای

یک میله منشوری بلند تحت بار خارجی (مثل یک پوسته استوانه‌ای تحت فشار) بین دو صفحه صاف، و صلب مطابق شکل (4-1) نگهداشته شده است. فرض می‌شود که بارهای خارجی فقط توابعی از مختصات x و y هستند. در نتیجه انتظار می‌رود که همه سطوح میله، من جمله سطوح انتهایی تغییر شکل یکسانی داشته باشند. دو سطح انتهایی صاف و بدون اصطکاک فرض می‌شوند، در نتیجه دو انتها می‌توانند تغییر مکان در جهت‌های x و y داشته باشند، ولی باتوجه به صلب بودن آنها، تغییر مکان در جهت z صفر است. بدین ترتیب در $z = \pm L/2$ ، $w = 0$ می‌باشند. به علت تقارن w باید برای سطح میانی نیز صفر باشد. با بحث تقارن می‌توان نتیجه گرفت که در $z = \pm L/4$ و یا هر سطح دیگر، $w = 0$ است. در نتیجه کرنش‌ها فقط به x و y بستگی خواهند داشت؛

$$\varepsilon_x = \frac{\partial u}{\partial x}, \quad \varepsilon_y = \frac{\partial v}{\partial y}, \quad \gamma_{xy} = \frac{\partial u}{\partial y} + \frac{\partial v}{\partial x} \quad (4-1)$$

$$\varepsilon_z = \frac{\partial w}{\partial z} = 0, \quad \gamma_{xz} = \frac{\partial w}{\partial x} + \frac{\partial u}{\partial z} = 0, \quad \gamma_{yz} = \frac{\partial w}{\partial y} + \frac{\partial v}{\partial z} = 0 \quad (4-2)$$

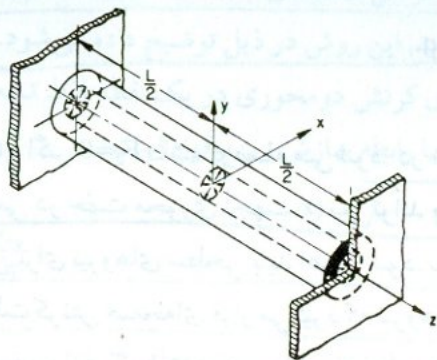
از دو عبارت آخری می‌توان نتیجه گرفت که چون w و مشتقات آن صفر هستند، $\frac{\partial u}{\partial z}$ و $\frac{\partial v}{\partial z}$ نیز صفر خواهند بود. بدین ترتیب حالت کرنش صفحه‌ای بدینصورت می‌تواند تعریف شود که هر نقطه از جسم ضمن بازگذاری در صفحه عرضی اولیه خود باقی می‌ماند. حال سایر روابط یک جسم تحت کرنش صفحه‌ای بررسی می‌شود.

با قرار دادن $\varepsilon_z = \gamma_{yz} = \gamma_{xz} = 0$ در رابطه (3-6)، روابط تنش - کرنش به صورت زیر درمی‌آید؛

$$\begin{aligned} \sigma_x &= 2G\varepsilon_x + \lambda(\varepsilon_x + \varepsilon_y) \\ \sigma_y &= 2G\varepsilon_y + \lambda(\varepsilon_x + \varepsilon_y) \end{aligned} \quad (4-3a)$$

$$\tau_{xy} = G\gamma_{xy}$$

و



شکل (4-1)

$$\tau_{xz} = \tau_{yz} = 0 \quad \sigma_z = \lambda(\varepsilon_x + \varepsilon_y) = \nu(\sigma_x + \sigma_y) \quad (a)$$

چون σ_z در سایر روابط کرنش - صفحه‌ای ظاهر نمی‌شود، مستقلاً از رابطه (a) محاسبه می‌شود. روابط کرنش - تنش، روابط (3-4)، در این حالت بصورت زیر درمی‌آیند؛

$$\begin{aligned} \varepsilon_x &= \frac{1-\nu^2}{E} \left(\sigma_x - \frac{\nu}{1-\nu} \sigma_y \right) \\ \varepsilon_y &= \frac{1-\nu^2}{E} \left(\sigma_y - \frac{\nu}{1-\nu} \sigma_x \right) \end{aligned} \quad (4-3b)$$

$$\gamma_{xy} = \frac{\tau_{xy}}{G}$$

باتوجه به اینکه مؤلفه‌های تنش‌ها فقط توابعی از x و y هستند، روابط تعادل در کرنش صفحه‌ای، با استفاده از روابط (1-5) به صورت زیر درمی‌آیند.

$$\frac{\partial \sigma_x}{\partial x} + \frac{\partial \tau_{xy}}{\partial y} + F_x = 0$$

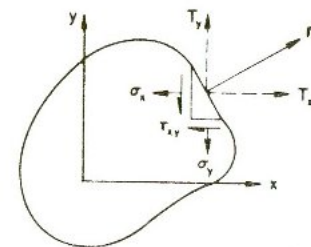
$$\frac{\partial \sigma_y}{\partial y} + \frac{\partial \tau_{xy}}{\partial x} + F_y = 0 \quad (4-4)$$

رابطه سوم (1-5)، اگر $F_z=0$ باشد ارضاء می شود. در نتیجه در حالت کرنش صفحه‌ای نیروی حجمی در جهت محوری (جهت z) نمی تواند وجود داشته باشد.

محدودیت مشابهی برای نیروهای سطحی باید اعمال شود. بدین معنی که وقتی یک جسم منشوری در حالت کرنش صفحه‌ای قرار می گیرد که نیروهای سطحی T_y و T_x هر کدام توابعی از x و y بوده و $T_z=0$ باشد. روی سطح جانبی $n=0$ است، شکل (4-2)، و شرایط مرزی از رابطه (1-31) به صورت زیر خواهد بود؛

$$\begin{aligned} T_x &= \sigma_x l + \tau_{xy} m \\ T_y &= \tau_{xy} l + \sigma_y m \end{aligned} \quad (4-5)$$

بنابراین در یک مسئله کرنش صفحه‌ای، هشت مقدار σ_x ، σ_y ، τ_{xy} ، ϵ_x ، ϵ_y ، γ_{xy} و u و v باید طوری بدست آیند که در روابط (4-1)، (4-3) و (4-4)، صادق باشند و شرایط مرزی (4-5) را ارضاء نمایند.



شکل (4-2)

برای حل یک مسئله کرنش صفحه‌ای ابتدا هشت رابطه حاکم، (4-1)، (4-3a) و (4-4) به سه رابطه تقلیل می یابد. این روش در ذیل توضیح داده می شود.

سه رابطه (3-1) برای کرنش دومحوری در یک نقطه فقط تابعی از دو متغیر u و v هستند. در نتیجه بین آنها رابطه سازش زیر برقرار است؛

$$\frac{\partial^2 \epsilon_x}{\partial y^2} + \frac{\partial^2 \epsilon_y}{\partial x^2} = \frac{\partial^2 \gamma_{xy}}{\partial x \partial y} \quad (4-6)$$

رابطه (4-6)، معادله سازش برحسب مؤلفه‌های کرنش است. با استفاده از روابط هوک و روابط تعادل، می توان آن را برحسب مؤلفه‌های تنش نرمال تنظیم نمود. با جایگذاری کرنش‌ها برحسب تنش‌ها، و استفاده از رابطه (4-3b)، رابطه (4-6) به صورت زیر درمی آید؛

$$\frac{\partial^2}{\partial y^2} [(1-\nu) \sigma_x - \nu \sigma_y] + \frac{\partial^2}{\partial x^2} [(1-\nu) \sigma_y - \nu \sigma_x] = 2 \frac{\partial^2 \tau_{xy}}{\partial x \partial y} \quad (b)$$

با مشتق گرفتن از روابط اول و دوم (4-4) به ترتیب نسبت به x و y و جمع کردن آنها نتیجه می شود؛

$$2 \frac{\partial^2 \tau_{xy}}{\partial x \partial y} = - \left(\frac{\partial^2 \sigma_x}{\partial x^2} + \frac{\partial^2 \sigma_y}{\partial y^2} \right) - \left(\frac{\partial F_x}{\partial x} + \frac{\partial F_y}{\partial y} \right) \quad (c)$$

اگر رابطه (c) در رابطه (b) قرار داده شود، رابطه سازش برحسب تنش‌های نرمال به صورت زیر درمی آید؛

$$\left(\frac{\partial^2}{\partial x^2} + \frac{\partial^2}{\partial y^2} \right) (\sigma_x + \sigma_y) = - \frac{1}{1-\nu} \left(\frac{\partial F_x}{\partial x} + \frac{\partial F_y}{\partial y} \right) \quad (4-7)$$

سه رابطه (4-4) و (4-7) برای به دست آوردن σ_x ، σ_y و τ_{xy} در مسائل کرنش صفحه‌ای به کار می رود. نتایج بدست آمده باید شرایط مرزی (4-5) را ارضاء نماید. پس از تعیین

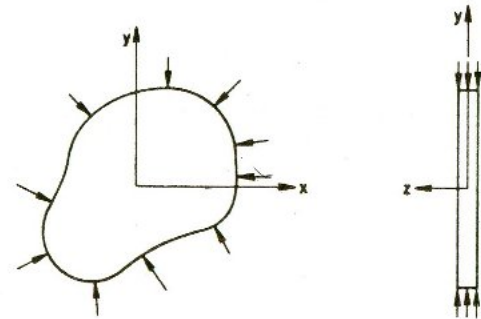
تنش‌ها، کرنش‌ها و تغییر مکانها به ترتیب از روابط (4-3a) و (4-1) محاسبه می‌شوند. در قسمت (4-4)، سه رابطه (4-4) و (4-7) به یک رابطه برحسب یک متغیر تقلیل داده می‌شود.

4-3 مسائل تنش صفحه‌ای

در عمل مسائل زیادی وجود دارد که شرایط تنش صفحه‌ای در آن‌ها حاکم است. حالت تنش صفحه‌ای در قسمت (1-4) تشریح شده است و در این قسمت روابط حاکم و روش حل آنها بررسی می‌شود.

برای تشریح یک حالت تنش صفحه‌ای، ورق نازکی مطابق شکل (4-3) در نظر گرفته می‌شود. بار خارجی در امتداد ضخامت ورق یکنواخت می‌باشد. برای پیدا کردن حالت تنش در ورق، فرض می‌شود σ_z ، τ_{xz} و τ_{yz} روی دو رویه کناری صفر هستند. چون ورق نازک است، این حالت تنش در همه ورق تقریباً برقرار است. به عنوان شرط مسأله نیروهای حجمی F_x ، F_y و $F_z = 0$ فقط به صورت توابعی از x و y خواهند بود. در نتیجه حالت تنش در ورق به صورت زیر خواهد بود؛

$$\begin{aligned} \sigma_x, \sigma_y, \tau_{xy} \\ \sigma_z = \tau_{xz} = \tau_{yz} = 0 \end{aligned} \quad (4-8)$$



شکل (4-3)

مؤلفه‌های غیر صفر تنش در امتداد ضخامت ورق ثابت بوده، و فقط توابعی از x و y خواهند بود. وضعیت فوق حالت تنش صفحه‌ای نامیده می‌شود. روابط (1-5) و (1-31) همراه با این ترکیب تنش به هشت رابطه مثل حالت کرنش صفحه‌ای تقلیل می‌یابند. روابط تعادل (4-4) و شرایط مرزی (4-5) برای حالت تنش صفحه‌ای نیز صادق هستند. با قرار دادن روابط (4-8) در روابط (3-4)، روابط تنش - کرنش در حالت تنش صفحه‌ای به صورت زیر درمی‌آید؛

$$\begin{aligned} \epsilon_x &= \frac{1}{E} (\sigma_x - \nu \sigma_y) \\ \epsilon_y &= \frac{1}{E} (\sigma_y - \nu \sigma_x) \end{aligned} \quad (4-9)$$

$$\begin{aligned} \gamma_{xy} &= \frac{\tau_{xy}}{G} \\ \gamma_{xz} = \gamma_{yz} &= 0, \quad \epsilon_z = -\frac{\nu}{E} (\sigma_x + \sigma_y) \end{aligned} \quad (a)$$

در حالت تنش صفحه‌ای ϵ_z مستقلاً از رابطه (a) به دست می‌آید، و سپس w از رابطه $\epsilon_z = \frac{\partial w}{\partial z}$ محاسبه می‌شود. در نتیجه در روابط حاکم فقط u و v باقی می‌مانند. حال روابط حاکم در حالت تنش صفحه‌ای، مثل حالت کرنش صفحه‌ای، سه رابطه

برحسب مؤلفه‌های تنش تقلیل می‌یابند. چون روابط (4-1) برای هر دو حالت کرنش صفحه‌ای و تنش صفحه‌ای صادق است، رابطه سازش (4-6) نیز برای هر دو حالت برقرار می‌باشد. با جایگذاری تنش‌ها و کرنش‌ها از رابطه (4-9) و استفاده از روابط تعادل (4-4)، رابطه سازش برحسب تنش‌های نرمال به صورت زیر درمی‌آید؛

$$\left(\frac{\partial^2}{\partial x^2} + \frac{\partial^2}{\partial y^2} \right) (\sigma_x + \sigma_y) = - (1 + \nu) \left(\frac{\partial F_x}{\partial x} + \frac{\partial F_y}{\partial y} \right) \quad (4-10)$$

این رابطه همراه با روابط تعادل، شکل مناسبی از روابط حاکم برای حالت تنش صفحه‌ای را به دست می‌دهد. بطور کلی در حالت‌های دو محوری بررسی شده، روابط

تعداد [روابط (4-4)]، همراه با روابط سازش [رابطه (4-7)] برای کرنش صفحه‌ای و (4-10) برای تنش صفحه‌ای] و شرایط مرزی [روابط (4-5)]، برای تعیین توزیع کامل تنش در جسم کافی خواهند بود. می‌توان نشان داد که فقط یک جواب برای هر مسأله به دست می‌آید که بتواند این شرایط را ارضاء نماید.⁽¹⁾ به عبارت دیگر برای هر مسأله فقط یک حل وجود دارد.

در حالتی که نیروهای حجمی وجود ندارند و یا ثابت هستند، روابط سازش برای دو حالت کرنش صفحه‌ای و تنش صفحه‌ای یکسان می‌شود. در این حالت‌ها، توزیع تنش بدست آمده شامل ثابت‌های الاستیک نخواهند بود. در نتیجه اگر دو میله فولادی و Lucite شکل هندسی یکسانی داشته باشند و بارگذاری روی آنها نیز یکسان باشد، توزیع تنش در آنها مشابه خواهد بود. با استفاده از این خاصیت می‌توان در مسائلی مثل مطالعات فوتوالاستیک به جای جسم اصلی، یک جسم ایزوتروپیک مناسب جایگزین کرد. با مقایسه روابط (4-3b) و (4-9) می‌توان جدول (4-1) را برای تبدیل حالت کرنش صفحه‌ای به تنش صفحه‌ای و برعکس تنظیم نمود.

Solution	To convert to	E is replaced by	v is replaced by
Plane stress	Plane strain	$\frac{E}{1-\nu^2}$	$\frac{\nu}{1-\nu}$
Plane strain	Plane stress	$\frac{1+2\nu}{(1+\nu)^2} E$	$\frac{\nu}{1+\nu}$

جدول (4-1)

۱- رجوع شود به:

I.S. Sokolnikoff, Mathematical Theory of Elasticity, New York, McGraw- Hill, 1056.

4-4 تابع تنش⁽¹⁾

در قسمت قبل نشان داده شد که برای حل مسائل دومیحوری در الاستیسیته لازم است. روابط تعادل [روابط (4-4)]، همراه با روابط سازش [رابطه (4-7)] یا (4-10) و شرایط مرزی [روابط (4-5)] حل شوند. وقتی نیروهای حجمی F_x و F_y قابل صرفنظر کردن هستند، این روابط به صورت روابط ساده زیر درمی‌آیند؛

$$\frac{\partial \sigma_x}{\partial x} + \frac{\partial \tau_{xy}}{\partial y} = 0$$

$$\frac{\partial \sigma_y}{\partial y} + \frac{\partial \tau_{xy}}{\partial x} = 0 \tag{a}$$

$$\left(\frac{\partial^2}{\partial x^2} + \frac{\partial^2}{\partial y^2} \right) (\sigma_x + \sigma_y) = 0 \tag{b}$$

شرایط مرزی همان روابط (4-5) خواهد بود. تابع تنش $\phi(x,y)$ طوری انتخاب می‌شود که اگر تنش‌ها به صورت زیر به آن وابسته باشند، روابط تعادل ارضاء شود؛

$$\sigma_x = \frac{\partial^2 \phi}{\partial y^2}, \quad \sigma_y = \frac{\partial^2 \phi}{\partial x^2}, \quad \tau_{xy} = -\frac{\partial^2 \phi}{\partial x \partial y} \tag{4-11}$$

این تابع توسط G.B. Airy معرفی شد.

با قرار دادن تنش‌ها از رابطه (4-11) در رابطه (b) نتیجه می‌شود؛

$$\frac{\partial^4 \phi}{\partial x^4} + 2 \frac{\partial^4 \phi}{\partial x^2 \partial y^2} + \frac{\partial^4 \phi}{\partial y^4} = \nabla^4 \phi = 0 \tag{4-12}$$

باتوجه به این رابطه حل مسائل دومیحوری عبارت می‌شود از انتخاب تابع ϕ به طوری که در رابطه (4-12) صادق باشد. پس از انتخاب تابع، تنش‌ها از روابط (4-11) به دست آمده و سپس با استفاده از روابط تنش-کرنش، کرنش‌ها محاسبه خواهند شد. با محاسبه کرنش‌ها، مؤلفه‌های تغییر مکان بدست می‌آیند. واضح است که حل کامل مسأله باید همراه با ارضاء شرایط مرزی باشد.

1- The stress function

باید توجه داشت که در حالت تنش صفحه‌ای، $\sigma_z = \tau_{xz} = \tau_{yz} = 0$ بوده و $\sigma_x, \sigma_y, \tau_{xy}$ مستقل از z می‌باشند. در نتیجه $\gamma_{xy} = \varepsilon_z, \varepsilon_y, \varepsilon_x, \gamma_{xz} = \gamma_{yz} = 0$ مستقل از z خواهند بود. در این صورت با مراجعه به روابط (2-8)، دیده می‌شود که علاوه بر رابطه (4-12)، روابط سازش زیر نیز باید برقرار باشد؛

$$\frac{\partial^2 \varepsilon_z}{\partial x^2} = 0, \quad \frac{\partial^2 \varepsilon_z}{\partial y^2} = 0, \quad \frac{\partial^2 \varepsilon_z}{\partial x \partial y} = 0 \quad (c)$$

واضح است که این شرایط اضافی با حل فقط رابطه (4-12)، در حالت تنش صفحه‌ای ارضاء نخواهند شد. بنابراین حل فوق برای مسائل تنش صفحه‌ای یک حل تقریبی است. بهر حال نشان داده می‌شود که در ورقهای نازک، میزان خطا بسیار کم است، و راه حل فوق نتایج قابل قبولی به دست می‌دهد.

4-5 روشهای حل مسائل دومحوری

حل مستقیم روابط بدست آمده در الاستیسیته دومحوری مشکل است و معمولاً از روشهای معکوس یا نیمه معکوس استفاده می‌شود. در روش معکوس ابتدا حلی فرض شده و سپس کنترل می‌شود که آیا روابط حاکم و شرایط مرزی ارضاء می‌شود یا خیر. در روش نیمه معکوس قسمتی از مسأله، با بیان عبارتی برای تنش، کرنش، تغییر مکان، یا تابع تنش بر حسب ثابتهای مجهول، فرض شود. پس از آن با استفاده از روابط حاکم و شرایط مرزی ثابتها محاسبه می‌گردند. بیان یک عبارت مناسب بستگی به مسأله مورد نظر دارد.

تعدادی از مسائل دومحوری با انتخاب یک تابع دوجمله‌ای از x و y برای تابع تنش قابل حل است. تابع دوجمله‌ای انتخاب شده باید در رابطه بی‌هارمونیک (4-12) صادق بوده، و برای اینکه تنش‌ها از رابطه (4-11) جواب داشته باشند از درجه دو و بالاتر باشد. از سری فوریه نیز برای حل برخی مسائل دومحوری می‌توان استفاده کرد.⁽¹⁾

۱- رجوع شود به؛

توابع دوجمله‌ای

یک روش مقدماتی برای حل مسائل دومحوری از طریق توابع دوجمله‌ای بدینصورت است که توابع مختلف دوجمله‌ای انتخاب شده، و ضرایب مجهول آن طوری محاسبه شود که $\nabla^4 \phi = 0$ گردد. بحث مختصری از این روش در این قسمت آورده می‌شود.

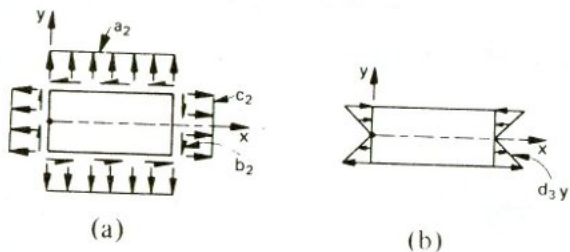
یک تابع دوجمله‌ای درجه دو به صورت زیر است؛

$$\phi_2 = \frac{a_2}{2} x^2 + b_2 xy + \frac{c_2}{2} y^2 \quad (4-13)$$

این تابع در رابطه (4-12) صادق است. تنش‌های بدست آمده از این رابطه عبارتند از؛

$$\sigma_x = c_2, \quad \sigma_y = a_2, \quad \tau_{xy} = -b_2$$

هر سه مؤلفه تنش در جسم مقادیر ثابتی هستند. برای یک ورق چهارگوش، شکل (4-4a)، واضح است که این نتایج می‌تواند نشان دهنده کشش ساده ($c_2 \neq 0$)، کشش دومحوری ($a_2 \neq 0, c_2 \neq 0$)، یا برش خالص ($b_2 \neq 0$) باشد.



شکل (4-4)

$$(3a_5 + 2c_5 + e_5)x + (b_5 + 2d_5 + 3f_5)y = 0$$

از این رابطه نتیجه می شود؛

$$e_5 = -3a_5 - 2c_5 \quad , \quad b_5 = -2d_5 - 3f_5$$

مؤلفه های تنش در این حالت برابر می شوند با؛

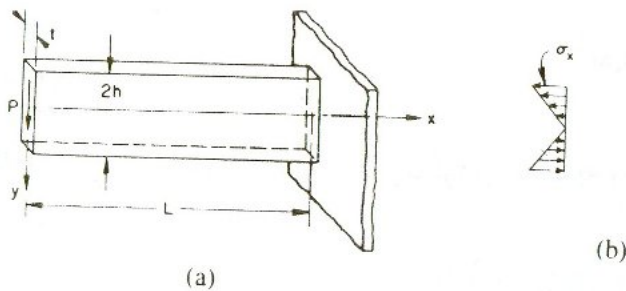
$$\sigma_x = \frac{c_5}{3} x^3 + d_5 x^2 y - (3a_5 + 2c_5) xy^2 + f_5 y^3$$

$$\sigma_y = a_5 x^3 - (3f_5 + 2d_5) x^2 y + c_5 xy^2 + \frac{d_5}{3} y^3$$

$$\tau_{xy} = \frac{1}{3} (3f_5 + 2d_5) x^3 - c_5 x^2 y - d_5 xy^2 + \frac{1}{3} (3d_5 + 2c_5) y^3$$

مثال 4-1

یک تیر نازک کنسول مطابق شکل (4-5a) تحت بار P در انتهای آزاد قرار دارد. توزیع تنش در تیر را به دست آورید. سطح مقطع تیر چهارگوش و ثابت است و از وزن آن صرف نظر نمایید.



شکل (4-5)

حل - اگر ضخامت t در این تیر نسبت به 2h کوچک باشد، حالت تنش را می توان تنش

تابع دوجمله ای درجه سه زیر نیز رابطه (4-12) را ارضاء می کند؛

$$\phi_3 = \frac{a_3}{6} x^3 + \frac{b_3}{2} x^2 y + \frac{c_3}{2} xy^2 + \frac{d_3}{6} y^3 \quad (4-14)$$

تنش های حاصل از این رابطه برابر خواهند شد با؛

$$\sigma_x = c_3 x + d_3 y \quad , \quad \sigma_y = a_3 x + b_3 y \quad , \quad \tau_{xy} = -b_3 x - c_3 y$$

برای حالت $a_3 = b_3 = c_3 = 0$ ، تنش ها به صورت ساده زیر در می آیند؛

$$\sigma_x = d_3 y \quad , \quad \sigma_y = \tau_{xy} = 0$$

که نشان دهنده خمش خالص در ورق چهارگوش است، شکل (4-4b).

دوجمله ای درجه چهار به صورت زیر؛

$$\phi_4 = \frac{a_4}{12} x^4 + \frac{b_4}{6} x^3 y + \frac{c_4}{2} x^2 y^2 + \frac{d_4}{6} xy^3 + \frac{e_4}{12} y^4 \quad (4-15)$$

به شرطی در رابطه (4-12) صادق است که؛

$$e_4 = -(2c_4 + a_4)$$

باشد. تنش های حاصل از رابطه (4-15) عبارت خواهد شد از؛

$$\sigma_x = c_4 x^2 + d_4 xy - (2c_4 + a_4) y^2$$

$$\sigma_y = a_4 x^2 + b_4 xy + c_4 y^2$$

$$\tau_{xy} = -\frac{b_4}{2} x^2 - 2c_4 xy - \frac{d_4}{2} y^2$$

دوجمله ای درجه پنج به صورت زیر؛

$$\phi_5 = \frac{a_5}{20} x^5 + \frac{b_5}{12} x^4 y + \frac{c_5}{6} x^3 y^2 + \frac{d_5}{6} x^2 y^3 + \frac{e_5}{12} xy^4 + \frac{f_5}{20} y^5 \quad (4-16)$$

به شرطی رابطه (4-12) را ارضاء می کند که شرط زیر برقرار باشد؛

صفحه‌ای فرض کرد. با توجه به سیستم محورهای انتخاب شده در شکل (4-5a)، شرایط مرزی عبارتند از؛

$$y = \pm h \quad y = \pm h$$

$$\tau_{xy} = 0 \quad \sigma_y = 0$$

این شرایط مرزی بیان می‌کند که در لبه‌های بالا و پائین تیر تنش‌های σ_y و τ_{xy} صفر می‌باشند. علاوه بر شرط (a) تنش σ_x نیز در $x = 0$ باید صفر شود.

شرط تعادل نیروی خارجی P و متجه نیروهای برشی در سطح انتهای آزاد تیر نیز باید برقرار باشد. به عبارت دیگر؛

$$P = - \int_{-h}^{+h} \tau_{xy} t dy \quad (b)$$

برای بدست آوردن توزیع تنش در تیر، از سه روش مسأله تحلیل می‌شود.

روش 1

باتوجه به اینکه ممان خمشی نسبت به x به صورت خطی تغییر می‌کند؛ و σ_y در هر مقطع به y بستگی دارد، می‌توان σ_x را به صورت زیر فرض کرد؛

$$\sigma_x = \frac{\partial^2 \phi}{\partial y^2} = c_1 xy \quad (c)$$

که در آن c_1 مقدار ثابتی است. با دو مرتبه انتگرال گرفتن نسبت به y ، ϕ برابر می‌شود با؛

$$\phi = \frac{1}{6} c_1 xy^3 + y f_1(x) + f_2(x) \quad (d)$$

که در آن $f_1(x)$ و $f_2(x)$ توابعی از x هستند، و باید پیدا شوند. با قرار دادن تابع ϕ در رابطه (4-12) نتیجه خواهد شد؛

$$y \frac{d^4 f_1}{dx^4} + \frac{d^4 f_2}{dx^4} = 0$$

چون ترم دوم این عبارت مستقل از y است، برای اینکه این رابطه به ازاء تمام مقادیر x و y برقرار باشد، $\frac{d^4 f_1}{dx^4} = 0$ و $\frac{d^4 f_2}{dx^4} = 0$ خواهد بود. پس از انتگرال‌گیری این دو تابع به صورت زیر بدست می‌آیند؛

$$f_1(x) = c_2 x^3 + c_3 x^2 + c_4 x + c_5$$

$$f_2(x) = c_6 x^3 + c_7 x^2 + c_8 x + c_9$$

که در آن c_2 تا c_9 مقادیر ثابتی هستند. با قرار دادن $f_1(x)$ و $f_2(x)$ در رابطه (d) نتیجه می‌شود؛

$$\phi = \frac{1}{6} c_1 xy^3 + (c_2 x^3 + c_3 x^2 + c_4 x + c_5) y + (c_6 x^3 + c_7 x^2 + c_8 x + c_9)$$

با داشتن تابع تنش، تنش‌های σ_y و τ_{xy} از رابطه (4-11) برابر خواهند شد با؛

$$\sigma_y = \frac{\partial^2 \phi}{\partial x^2} = 6(c_2 y + c_6) x + 2(c_3 y + c_7)$$

$$\tau_{xy} = - \frac{\partial^2 \phi}{\partial x \partial y} = - \frac{1}{2} c_1 x^2 - 3c_2 x^2 - 2c_3 x - c_4 \quad (e)$$

حال باید از شرایط مرزی برای بدست آوردن ثابتها استفاده کرد. با قرار دادن روابط (a) در (e) نتیجه خواهد شد؛

$$c_2 = c_3 = c_6 = c_7 = 0, \quad c_4 = - \frac{1}{2} c_1 h^2$$

با استفاده از شرط (b)؛

$$- \int_{-h}^{+h} \tau_{xy} t dy = \int_{-h}^{+h} \frac{1}{2} c_1 t (y^2 - h^2) dy = P$$

c_1 برابر می‌شود با؛

$$c_1 = - \frac{3P}{2th^3} = - \frac{P}{I}$$

که در آن $I = \frac{2}{3} th^3$ ممان اینرسی مقطع حول محور خمشی می‌باشد.

از روابط (c) و (e)، با داشتن ثابتهای فوق، مؤلفه‌های تنش برابر خواهند شد با؛

$$\sigma_x = - \frac{Pxy}{I}, \quad \sigma_y = 0$$

$$\tau_{xy} = - \frac{P}{2I} (h^2 - y^2) \quad (4-17)$$

توزیع این تنش در مقطعی دور از انتهای آزاد در شکل (4-5b) نشان داده شده است.

روش 2

باتوجه به ممان خمشی $M_z = Px$ ، توزیع تنش را می توان مشابه حالت خمش خالص به صورت زیر فرض کرد؛

$$\sigma_x = - \left(\frac{Px}{I} \right) y, \quad \tau_{xy} = \tau_{xy}(x,y), \quad \sigma_y = \sigma_z = \tau_{xz} = \tau_{yz} = 0 \quad (f)$$

این مقادیر روابط سازش را ارضاء می نمایند. باتوجه به رابطه (f)، روابط تعادل به صورت زیر درمی آیند؛

$$\frac{\partial \sigma_x}{\partial x} + \frac{\partial \tau_{xy}}{\partial y} = 0, \quad \frac{\partial \tau_{xy}}{\partial x} = 0 \quad (g)$$

رابطه دوم (g) نشان می دهد که τ_{xy} فقط به y بستگی دارد. از رابطه اول (g) و رابطه (f) نتیجه می شود؛

$$\frac{\partial \tau_{xy}}{\partial y} = + \frac{Py}{I}$$

$$\tau_{xy} = + \frac{Py^2}{2I} + c$$

ثابت c از شرط مرزی $(\tau_{xy})_{y=\pm h} = 0$ برابر می شود با؛

$$c = - Ph^2/2I$$

با قرار دادن مقدار c در عبارت τ_{xy} همان نتیجه روش 1- بدست می آید. نتیجه بدست آمده شرط (b) را نیز ارضاء می کند.

روش 3

مسأله را می توان با جمع کردن توابع ϕ_2 و ϕ_4 و با شرط زیر حل کرد؛

$$a_2 = c_2 = a_4 = b_4 = c_4 = e_4 = 0$$

در نتیجه تابع تنش برابر می شود با؛

$$\phi = \phi_2 + \phi_4 = b_2xy + \frac{d_4}{6} cy^3$$

مؤلفه های تنش از این تابع برابر خواهند شد با؛

$$\sigma_x = d_4xy, \quad \sigma_y = 0, \quad \tau_{xy} = -b_2 - \frac{d_4}{2} y^2$$

باتوجه به این مؤلفه های تنش شرط دوم روابط (a) ارضاء می شود، و از شرط اول نتیجه می شود؛

$$d^4 = -2b_2/h^2$$

در نتیجه؛

$$\tau_{xy} = -b_2 \left(1 - \frac{y^2}{h^2} \right)$$

با قرار دادن τ_{xy} در شرط (b)؛ b_2 برابر؛

$$b_2 = - 3P/4ht = Ph^2/2I$$

می شود و همان نتایج قبلی بدست می آید.

نتایج بدست آمده نشان می دهد که تنش های بدست آمده با روش مقاومت مصالح صحیح است. اگر شرایط مرزی، و نوع بارگذاری، طبق توزیع شکل (4-5b) باشد جوابها دقیق است. در غیر اینصورت در محدوده مرز، جوابها دقیق نیست، ولی باتوجه به اصل سنت و نانت برای مقاطع دور از دو انتها جوابها دقیق خواهد بود. در بخش پنجم، قسمت (5-4) روابط تغییر مکان بدست خواهد آمد.

4-6 روابط پایه در سیستم محورهای قطبی

در بسیاری از مسائل مهندسی استفاده از سیستم محورهای قطبی به جای سیستم کارتزین حل مسائل را ساده تر می کند. بطور کلی در مسائل متقارن محوری مثل استوانه، دیسک، تیر خمیده و سوراخی در ورق بهتر است از سیستم محورهای قطبی استفاده شود. سیستم محورهای قطبی (r, θ) و سیستم کارتزین (x, y) با روابط زیر بهم وابسته اند؛

$$x = r \cos \theta, \quad r^2 = x^2 + y^2$$

(a)

$$y = r \sin \theta, \quad \theta = \tan^{-1} \frac{y}{x}$$

روابط تعادل؛

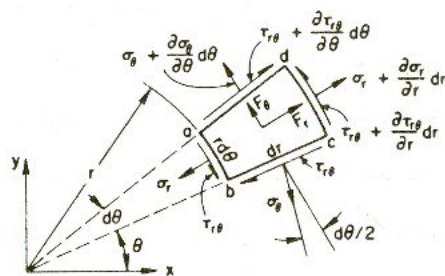
المان abcd به ضخامت واحد در سیستم محورهای قطبی در نظر گرفته می شود،

شکل (4-6). نیروهای حجمی در امتدادهای r و θ به ترتیب Fr و F θ هستند. از تعادل المان در جهت شعاعی نتیجه می شود؛

$$(\sigma_r + \frac{\partial \sigma_r}{\partial r} dr) (r + dr) d\theta - \sigma_r r d\theta - (\sigma_\theta + \frac{\partial \sigma_\theta}{\partial \theta} dr \sin \frac{d\theta}{2}$$

$$\sigma_\theta dr \sin \frac{d\theta}{2} + (\tau_{r\theta} + \frac{\partial \tau_{r\theta}}{\partial \theta} d\theta) dr \cos \frac{d\theta}{2} - \tau_{r\theta} dr \cos \frac{d\theta}{2}$$

$$+ F_r r dr d\theta = 0$$



شکل (4-6)

چون dθ کوچک است، به جای $\sin \frac{d\theta}{2}$ می توان $\frac{d\theta}{2}$ و به جای $\cos \frac{d\theta}{2}$ ، 1 قرار داد. ضمناً با صرف نظر کردن از ترمهای با درجات بالاتر عبارت ساده تر خواهد شد. تحلیل مشابهی برای تعادل در جهت θ می توان ارائه داد. وقتی هر دو رابطه تعادل به r dr dθ تقسیم شوند نتیجه خواهد شد؛

$$\left\{ \begin{aligned} \frac{\partial \sigma_r}{\partial r} + \frac{1}{r} \frac{\partial \tau_{r\theta}}{\partial \theta} + \frac{\sigma_r - \sigma_\theta}{r} + F_r &= 0 \\ \frac{1}{r} \frac{\partial \sigma_\theta}{\partial \theta} + \frac{\partial \tau_{r\theta}}{\partial r} + \frac{2\tau_{r\theta}}{r} + F_\theta &= 0 \end{aligned} \right. \quad (4-18)$$

در صورتیکه نیروهای حجمی وجود نداشته باشند، اگر تنش ها با تابع تنش $\phi(r, \theta)$ به صورت زیر وابسته باشند، رابطه (4-18) ارضاء خواهد شد؛

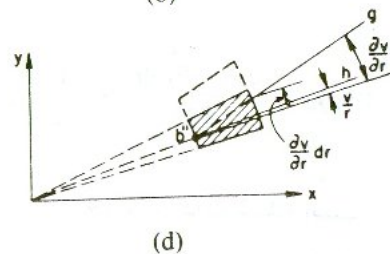
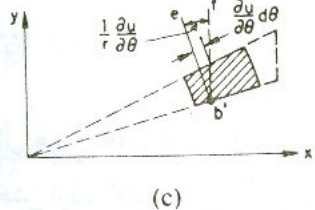
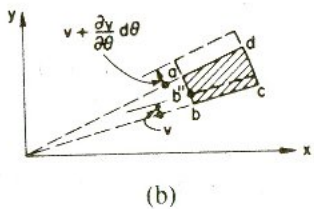
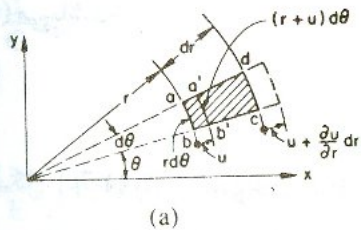
$$\sigma_r = \frac{1}{r} \frac{\partial \phi}{\partial r} + \frac{1}{r^2} \frac{\partial^2 \phi}{\partial \theta^2}$$

$$\sigma_\theta = \frac{\partial^2 \phi}{\partial r^2} \quad (4-19)$$

$$\tau_{r\theta} = \frac{1}{r^2} \frac{\partial \phi}{\partial \theta} - \frac{1}{r} \frac{\partial^2 \phi}{\partial r \partial \theta} = - \frac{\partial}{\partial r} \left(\frac{1}{r} \frac{\partial \phi}{\partial \theta} \right)$$

روابط کرنش - تغییر مکان

المان کوچک abcd را در نظر گرفته و تغییر مکانها در جهت های r و θ ، u و v فرض می شود. تغییر شکل کلی المان ترکیبی از: ۱- تغییر طول اضلاع المان طبق شکلهای (4-7a) و b و ۲- چرخش اضلاع طبق شکلهای (4-7c) و d می باشد.



شکل (4-7)

در تحلیل زیر باتوجه به کوچک بودن زاویه، $\sin \theta \approx \theta$ و قوسهای ab و cd به صورت خطهای مستقیم در نظر گرفته می شوند. باتوجه به شکل (4-7a) دیده می شود که در اثر تغییر مکان u ضلع ab ، هر دو کرنش شعاعی و محیطی ایجاد می شود. کرنش شعاعی ϵ_r ، تغییر طول واحد طول ضلع ad ، فقط وابسته به تغییر مکان u به صورت زیر خواهد بود؛

$$\epsilon_r = \frac{\partial u}{\partial r} \quad (4-20a)$$

کرنش زاویه‌ای در اثر u ، تغییر طول واحد طول ab ، برابر می شود با؛

$$(\epsilon_\theta)_u = \frac{(r+u) d\theta - rd\theta}{rd\theta} = \frac{u}{r} \quad (b)$$

از شکل (4-7b) دیده می شود که در اثر تغییر مکان u نیز ϵ_θ به صورت زیر وجود خواهد داشت؛

$$(\epsilon_\theta)_v = \frac{(\partial v / \partial \theta) d\theta}{rd\theta} = \frac{1}{r} \frac{\partial v}{\partial \theta} \quad (c)$$

این کرنش در اثر تغییر طول ab به اندازه $\frac{\partial v}{\partial \theta} d\theta$ است. کرنش محیطی کلی جمع روابط (b) و (c) می باشد؛

$$\epsilon_\theta = \frac{1}{r} \frac{\partial v}{\partial \theta} + \frac{u}{r} \quad (4-20b)$$

در شکل (4-7c) زاویه چرخش $eb'f$ از ضلع $a'b'$ نشان داده شده است. کرنش زاویه‌ای مربوط به آن برابر است با؛

$$(\gamma_{r\theta})_u = \frac{(\partial u / \partial \theta) d\theta}{rd\theta} = \frac{1}{r} \frac{\partial u}{\partial \theta} \quad (d)$$

چرخش ضلع bc فقط در اثر تغییر مکان v در شکل (4-7d) نشان داده شده است. چون چرخش اولیه b'' به اندازه $\frac{u}{v}$ اتفاق افتاده است، چرخش نسبی $gb''h$ از ضلع bc برابر می شود با؛

$$(\gamma_{r\theta})_v = \frac{\partial v}{\partial r} - \frac{v}{r} \quad (e)$$

جمع روابط (d) و (e) کرنش زاویه‌ای کلی را بدست می دهد. این کرنش برابر خواهد شد با؛

$$\gamma_{r\theta} = \frac{\partial v}{\partial r} + \frac{1}{r} \frac{\partial u}{\partial \theta} - \frac{v}{r} \quad (4-20c)$$

بدین ترتیب روابط کرنش - تغییر مکان در سیستم محورهای قطبی به صورت روابط (4-20) خواهد بود.

روابط هوک

با کوچک فرض کردن المان، روابط تنش - کرنش در سیستم محورهای قطبی مشابه سیستم محورهای قائم خواهد بود. فقط کافیسیت زیرنویس r به x و θ به y تبدیل شود. در حالت تنش صفحه‌ای، رابطه (4-9) به صورت زیر درمی آید؛

$$\epsilon_r = \frac{1}{E} (\sigma_r - \nu \sigma_\theta)$$

$$\epsilon_\theta = \frac{1}{E} (\sigma_\theta - \nu \sigma_r) \quad (4-21a)$$

$$\gamma_{r\theta} = \frac{1}{G} \tau_{r\theta}$$

برای کرنش صفحه‌ای، از رابطه (4-3) نتیجه می شود؛

$$\epsilon_r = \frac{1+\nu}{E} [(1-\nu) \sigma_r - \nu \sigma_\theta]$$

$$\epsilon_\theta = \frac{1+\nu}{E} [(1-\nu) \sigma_\theta - \nu \sigma_r] \quad (4-21b)$$

$$\gamma_{r\theta} = \frac{1}{G} \tau_{r\theta}$$

روابط انتقال

با جایگزین کردن زیرنویس x' به r و y' به θ در روابط انتقال قسمت 1-5 نتیجه می شود؛

بدین ترتیب شرط تابع تنش (4-12) به صورت زیر درمی آید؛

$$\nabla^4 \phi = \left(\frac{\partial^2}{\partial r^2} + \frac{1}{r} \frac{\partial}{\partial r} + \frac{1}{r^2} \frac{\partial^2}{\partial \theta^2} \right) (\nabla^2 \phi) = 0 \quad (4-24)$$

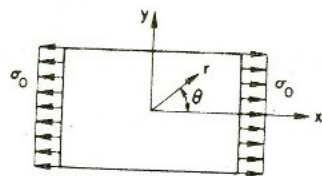
برای حالت متقارن محوری در صورت صفر بودن نیروهای حجمی، رابطه سازش (4-7) با استفاده از رابطه (f) به صورت زیر درمی آید؛

$$\nabla^4 \phi (\sigma_r + \sigma_\theta) = \frac{d^2 (\sigma_r + \sigma_\theta)}{dr^2} + \frac{1}{r} \frac{d (\sigma_r + \sigma_\theta)}{dr} = 0 \quad (4-25)$$

سایر روابط الاستیسیته دومیخوری به روش فوق می تواند به دست آید.

مثال 4-2

یک ورق نازک و بزرگ تحت تنش کششی یکنواخت σ_0 در دو انتها قرار دارد، شکل (4-8). میدان تنش در ورق را پیدا کنید.



شکل (4-8)

برای تحلیل این مسأله بهتر است مرکز مختصات وسط ورق در نظر گرفته می شود.

$$\sigma_r = \sigma_x \cos^2 \theta + \sigma_y \sin^2 \theta + 2\tau_{xy} \sin \theta \cos \theta$$

$$\tau_{r\theta} = (\sigma_y - \sigma_x) \sin \theta \cos \theta + \tau_{xy} (\cos^2 \theta - \sin^2 \theta) \quad (4-22a)$$

$$\sigma_\theta = \sigma_x \sin^2 \theta + \sigma_y \cos^2 \theta - 2\tau_{xy} \sin \theta \cos \theta$$

ضمناً می توان تنش های σ_x ، τ_{xy} و σ_y را برحسب تنش های σ_r ، $\tau_{r\theta}$ و σ_θ به صورت زیر نوشت؛

$$\sigma_x = \sigma_r \cos^2 \theta + \sigma_\theta \sin^2 \theta - 2\tau_{r\theta} \sin \theta \cos \theta$$

$$\tau_{xy} = (\sigma_r - \sigma_\theta) \sin \theta \cos \theta + \tau_{r\theta} (\cos^2 \theta - \sin^2 \theta) \quad (4-22b)$$

$$\sigma_y = \sigma_r \sin^2 \theta + \sigma_\theta \cos^2 \theta + 2\tau_{r\theta} \sin \theta \cos \theta$$

روابط مشابهی برای انتقال کرنش های ϵ_r ، $\gamma_{r\theta}$ و ϵ_θ می توان نوشت.

رابطه سازش

از روابط (4-20) می توان نشان داد که رابطه سازش به صورت زیر است؛

$$\frac{\partial^2 \epsilon_\theta}{\partial r^2} + \frac{1}{r^2} \frac{\partial^2 \epsilon_r}{\partial \theta^2} + \frac{2}{r} \frac{\partial \epsilon_\theta}{\partial r} - \frac{1}{r} \frac{\partial \epsilon_r}{\partial r} = \frac{1}{r} \frac{\partial^2 \gamma_{r\theta}}{\partial r \partial \theta} + \frac{1}{r^2} \frac{\partial \gamma_{r\theta}}{\partial \theta} \quad (4-23)$$

برای بدست آوردن رابطه سازش برحسب تابع تنش ϕ ، لازم است مشتقات نسبی $\frac{\partial^2 \phi}{\partial x^2}$ و $\frac{\partial^2 \phi}{\partial y^2}$ برحسب r و θ با استفاده از رابطه (a) محاسبه شوند. این مشتقات به اپراتور لاپلاسین زیر منجر خواهد شد؛

$$\nabla^2 \phi = \frac{\partial^2 \phi}{\partial x^2} + \frac{\partial^2 \phi}{\partial y^2} = \frac{\partial^2 \phi}{\partial r^2} + \frac{1}{r} \frac{\partial \phi}{\partial r} + \frac{1}{r^2} \frac{\partial^2 \phi}{\partial \theta^2} \quad (f)$$

حالت تنش در ورق به صورت زیر است؛

$$\sigma_x = \sigma_0 \quad \sigma_y = \tau_{xy} = 0$$

$$\nabla^2 \phi = 0$$

تابع تنش $\phi = \sigma_0 y^2/2$ رابطه (4-12) را ارضاء می کند. در این مسأله بهتر است از مختصات قطبی استفاده شود. بدین منظور تابع تنش در سیستم محورهای قطبی با قرار دادن $y = r \sin \theta$ به صورت زیر درمی آید؛

$$\phi = \frac{1}{4} \sigma_0 r^2 (1 - \cos 2\theta) \tag{g}$$

تنش ها در ورق باتوجه به تابع تنش (g) از روابط (4-19) برابر می شوند با؛

$$\sigma_r = \frac{1}{2} \sigma_0 (1 + \cos 2\theta)$$

$$\sigma_\theta = \frac{1}{2} \sigma_0 (1 + \cos 2\theta) \tag{4-26}$$

$$\tau_{r\theta} = -\frac{1}{2} \sigma_0 \sin 2\theta$$

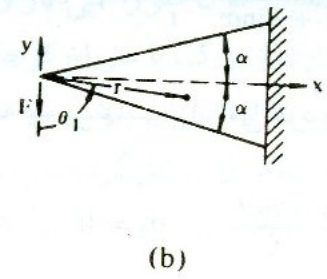
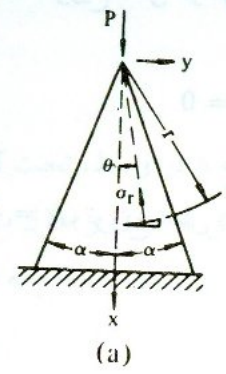
4-7 توزیع تنش در گوه نازک

در شکل های (4-9a) و b گوه کنسولی تحت دو نوع بارگذاری نشان داده شده اند. ضخامت گوه ها واحد فرض شده، و در هر دو حالت نیرو به صورت یکنواخت در ضخامت گوه گسترده شده است. برای بدست آوردن توزیع تنش در این دوگوه، تحلیل جداگانه ای برای هر کدام در ذیل آورده شده است.

برای حالت (4-9a) تابع تنش به صورت زیر فرض می شود؛

$$\phi = cPr\theta \sin \theta \tag{a}$$

که در آن c مقدار ثابتی است. رابطه (a) رابطه (4-12) و سازش را ارضاء می کند. تنش ها در گوه از رابطه (4-19) برابر می شوند با؛



شکل (4-9)

$$\sigma_r = 2cP \frac{\cos \theta}{r}, \quad \sigma_\theta = 0, \quad \tau_{r\theta} = 0 \tag{b}$$

باتوجه به شکل، شرایط مرزی عبارتند از؛

$$\sigma_\theta = \tau_{r\theta} = 0 \quad (\theta = \pm \alpha) \tag{c}$$

$$2 \int_0^\alpha \sigma_r r \cos \theta d\theta = -P \tag{d}$$

شرط (c) از نتایج σ_θ و $\tau_{r\theta}$ طبق رابطه (b) برقرار است. با قراردادن σ_r از رابطه (b) در شرط (d) نتیجه می شود؛

$$4cP \int_0^\alpha \cos^2 \theta d\theta = -P$$

و در نتیجه؛

$$c = \frac{1}{2\alpha + \sin 2\alpha} \quad (e)$$

با بدست آوردن c توزیع تنش در گوه به صورت زیر خواهد بود؛

$$\sigma_r = -\frac{2P}{2\alpha + \sin \alpha} \frac{\cos \theta}{r}, \quad \sigma_\theta = 0, \quad \tau_{r\theta} = 0 \quad (4-27a)$$

با قرار دادن $\alpha = \frac{\pi}{2}$ ، توزیع تنش در یک صفحه نیم بی نهایت برابر می شود؛

$$\sigma_r = -\frac{2p}{\pi} \frac{\cos \theta}{r}, \quad \sigma_\theta = 0, \quad \tau_{r\theta} = 0 \quad (4-27b)$$

برای حالت (4-9b) تابع تنش به صورت زیر فرض می شود؛

$$\phi = cFr\theta_1 \sin \theta_1 \quad (f)$$

شرط تعادل در این حالت به صورت زیر خواهد بود؛

$$\int_{\pi/2-\alpha}^{\pi/2+\alpha} \sigma_r r \cos \theta_1 d\theta_1 = 2cF \int_{\pi/2-\alpha}^{\pi/2+\alpha} \cos^2 \theta_1 d\theta_1 = F$$

که از آن ثابت c برابر می شود؛

$$c = \frac{1}{2\alpha - \sin 2\alpha} \quad (g)$$

در نتیجه توزیع تنش در گوه به صورت زیر خواهد بود؛

$$\sigma_r = \frac{2F}{2\alpha - \sin 2\alpha} \frac{\cos \theta_1}{r}, \quad \sigma_\theta = 0, \quad \tau_{r\theta} = 0 \quad (4-27c)$$

اگر به گوه هر دو بار بطور همزمان وارد آید، توزیع تنش با ترکیب این دو حالت برابر می شود؛

$$(4-27d)$$

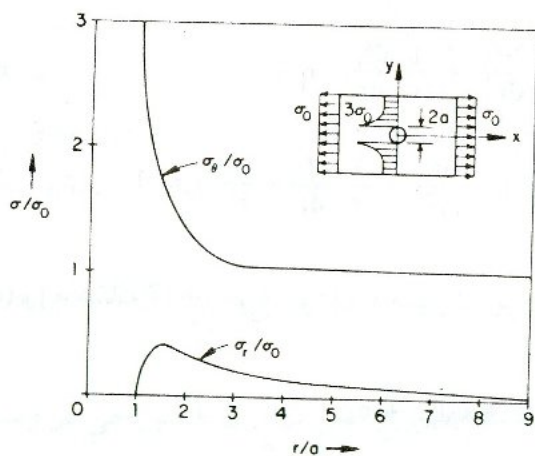
$$\sigma_r = -\frac{2P}{2\alpha + \sin 2\alpha} \frac{\cos \theta}{r} + \frac{2F}{2\alpha - \sin 2\alpha} \frac{\cos \theta_1}{r}, \quad \sigma_\theta = 0, \quad \tau_{r\theta} = 0$$

نتایج بدست آمده (4-27) در گوه وقتی دقیق است که عکس العمل انتهای گیردار با نتایج هم آهنگی داشته باشد.

4-8 توزیع تنش حول سوراخی در ورق

یک ورق نازک و بزرگ، با سوراخ کوچکی به شعاع a در وسط، تحت کشش ساده قرار دارد، شکل (4-10)، برای بدست آوردن توزیع تنش در ورق و حول سوراخ، مبدأ مختصات در وسط ورق در نظر گرفته می شود. شرایط مرزی دور سوراخ به صورت زیر خواهد بود؛

$$\sigma_r = \tau_{r\theta} = 0 \quad (r=a) \quad (a)$$



شکل (4-10)

در فاصله ای دور از مبدأ تنش های σ_r ، σ_θ و $\tau_{r\theta}$ را می توان از نتایج مثال (4-2) بدست

آورد. در نتیجه برای $r = \infty$ ، باتوجه به رابطه (4-26) نتیجه خواهد شد؛

$$\sigma_r = \frac{1}{2} \sigma_0 (1 + \cos 2\theta)$$

$$\sigma_\theta = \frac{1}{2} \sigma_0 (1 - \cos 2\theta) \quad (b)$$

$$\tau_{r\theta} = -\frac{1}{2} \sigma_0 \sin 2\theta$$

برای حالت فوق تابع تنش مشابه تابع (g) مثال (4-2) به صورت زیر در نظر گرفته می شود؛

$$\phi = f_1(r) + f_2(r) \cos 2\theta \quad (c)$$

که در آن f_1 و f_2 باید محاسبه شوند. با قراردادن رابطه (c) در رابطه بی هارمونیک (4-24)، و باتوجه به اینکه این رابطه باید برای تمام مقادیر θ صادق باشد، نتیجه خواهد شد؛

$$\left(\frac{d^2}{dr^2} + \frac{1}{r} \frac{d}{dr} \right) \left(\frac{d^2 f_1}{dr^2} + \frac{1}{r} \frac{df_1}{dr} \right) = 0 \quad (d)$$

$$\left(\frac{d^2}{dr^2} + \frac{1}{r} \frac{d}{dr} - \frac{4}{r^2} \right) \left(\frac{d^2 f_2}{dr^2} + \frac{1}{r} \frac{df_2}{dr} - \frac{4f_2}{r^2} \right) = 0 \quad (e)$$

حل روابط (d) و (e)، [به مسأله 4-17 رجوع شود]، به صورت زیر خواهد بود؛

$$f_1 = c_1 r^2 \ln r + c_2 r^2 + c_3 \ln r + c_4 \quad (f)$$

$$f_2 = c_5 r^2 + c_6 r^4 + \frac{c_7}{r^2} + c_8 \quad (g)$$

که در آن c_1 تا c_8 ثابتهای انتگرال هستند. با قرار دادن روابط (f) و (g) در رابطه (c) تابع تنش ϕ بدست می آید. از رابطه (4-19) تنش ها برابر خواهند شد با؛

$$\sigma_r = c_1 (1 + 2 \ln r) + 2c_2 + \frac{c_3}{r^2} - \left(2c_5 + \frac{6c_7}{r^4} + \frac{4c_8}{r^2} \right) \cos 2\theta$$

$$\sigma_\theta = c_1 (3 + 2 \ln r) + 2c_2 + \frac{c_3}{r^2} + \left(2c_5 + 12c_6 r^2 + \frac{6c_7}{r^4} \right) \cos 2\theta$$

$$\tau_{r\theta} = \left(2c_5 + 6c_6 r^2 - \frac{6c_7}{r^4} - \frac{2c_8}{r^2} \right) \sin 2\theta$$

ثابت c_4 در تنش ها وجود ندارد و نشان می دهد که تاثیری در توزیع ها نخواهد داشت. باتوجه به شرط مرزی (b)، چون در $r = \infty$ تنش ها باید مقادیر معینی داشته باشند، $c_1 = c_6 = 0$ خواهد شد. از طرفی با استفاده از شرط مرزی (a) نتیجه می شود؛

$$2c_2 + \frac{c_3}{a^2} = 0, \quad 2c_5 + \frac{6c_7}{a^4} + \frac{4c_8}{a^2} = 0, \quad 2c_5 - \frac{6c_7}{a^4} - \frac{2c_8}{a^2} = 0$$

همچنین از شرط (b) نتیجه خواهد شد؛

$$\sigma_0 = -4c_5, \quad \sigma_0 = 4c_2$$

از حل این پنج رابطه ثابت ها به صورت زیر بدست خواهند آمد؛

$$c_2 = \sigma_0/4, \quad c_3 = -a^2 \sigma_0/2, \quad c_5 = -\sigma_0/4$$

$$c_7 = -a^4 \sigma_0/4, \quad c_8 = a^2 \sigma_0/2$$

با قراردادن این ثابت ها، توزیع تنش در ورق با سوراخی در وسط به صورت زیر

درمی آید؛

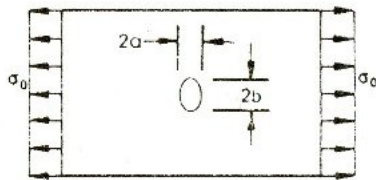
$$\sigma_r = \frac{1}{2} \sigma_0 \left[\left(1 - \frac{a^2}{r^2} \right) + \left(1 + \frac{3a^4}{r^4} - \frac{4a^2}{r^2} \right) \cos 2\theta \right]$$

$$\sigma_\theta = \frac{1}{2} \sigma_0 \left[\left(1 + \frac{a^2}{r^2} \right) - \left(1 + \frac{3a^4}{r^4} \right) \cos 2\theta \right] \quad (4-28)$$

در یک ورق نازک و بزرگ، با سوراخ بیضوی در وسط نیز تمرکز تنش وجود دارد، شکل (4-12). می توان نشان داد که تنش کششی در دو انتهای محور بزرگتر سوراخ برابر است با؛

$$\sigma_{\max} = \sigma_0 \left(1 + 2 \frac{b}{a} \right)$$

دیده می شود که تنش ماکزیمم به نسبت $\frac{b}{a}$ بستگی دارد و در حد وقتی $a \rightarrow 0$ میل می کند، بیضی به صورت شکافی به طول $2b$ در می آید. در این حالت تنش در دو انتهای شکاف بسیار زیاد می شود و جسم به حد تسلیم می رسد. در نتیجه شکاف شروع به توسعه می نماید. برای جلوگیری از توسعه شکاف می توان در دو انتها با مته سوراخهایی ایجاد کرد تا تمرکز تنش کمتر شود.



شکل (4-12)

4-9 تنش های حرارتی

اگر المانی مکعب شکل از جسمی تحت تغییرات درجه حرارت قرار گیرد، ابعاد آن منبسط یا منقبض می شود. اگر در مقابل تغییر ابعاد محدودیتی اعمال نشود، شکل کلی المان همواره به صورت مکعب باقی خواهد ماند. در این صورت هرچند در جسم کرنش وجود دارد، تنش ها برابر صفر هستند. اگر جسم طوری گرم شود که میدان درجه حرارت غیریکنواخت باشد، یا اگر میدان درجه حرارت یکنواخت باشد ولی از تغییر طول یک یا

$$\tau_{r\theta} = -\frac{1}{2} \sigma_0 \left(1 - \frac{3a^4}{r^4} + \frac{2a^2}{r^2} \right) \sin 2\theta$$

تنش σ_θ در $\theta = \pm \frac{\pi}{2}$ بیشترین مقدار خود را دارا است و در $r=a$ برابر است با؛

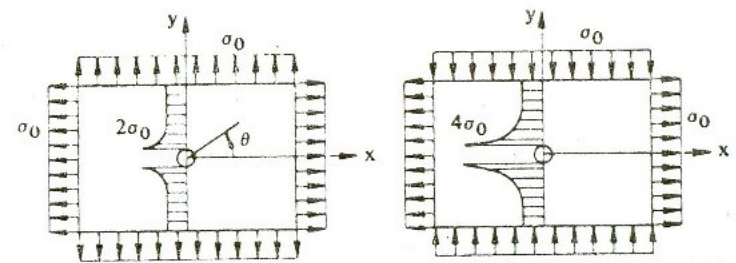
$$(\sigma_\theta)_{\max} = 3\sigma_0$$

از طرف دیگر برای ورق بدون سوراخ، در $\theta = \pm \frac{\pi}{2}$ بیشترین مقدار σ_θ برابر؛

$$(\sigma_\theta)_{\max} = \sigma_0$$

می باشد. بنابراین ضریب تمرکز تنش در سوراخ $k=3$ می باشد.

برای نشان دادن تغییرات $(\sigma_r, \frac{\pi}{2})$ ، $(\sigma_\theta, \frac{\pi}{2})$ نسبت به فاصله از مرکز، تنش های بدون بعد نسبت به شعاع بدون بعد در شکل (4-10) ترسیم شده است. تنش برشی $(\tau_{r\theta}, \frac{\pi}{2})$ صفر می باشد. در فاصله دو برابر قطر سوراخ، $r=4a$ ، تنش $\sigma_\theta \approx 1.037\sigma_0$ و تنش $\sigma_r \approx 0.088\sigma_0$ است. در فاصله $r=9a$ ، $\sigma_\theta \approx 1.066\sigma_0$ و $\sigma_r \approx 0.018\sigma_0$ می باشد. در نتیجه در این حالت در فاصله تقریباً $9a$ اثر سوراخ در تمرکز تنش از بین می رود. به عبارت دیگر تمرکز تنش اثر موضعی دارد، و این امر اصل سنت و نانت را تایید می کند. از نتایج (4-28) می توان با استفاده از اصل جایگزینی برای حالت های تنش دومیحوری استفاده کرد. توزیع تنش $(\sigma_\theta, \frac{\pi}{2})$ برای دو حالت متفاوت تنش در شکل (4-11) نشان داده شده است.



شکل (4-11)

چند بعد جسم جلوگیری شود، و یا اگر جسم رفتار غیر ایزوتروپی داشته باشد، تنش‌های حرارتی در جسم ایجاد می‌شود. این تنش‌ها در بسیاری از مسائل مهندسی، مثل صنایع هوایی و نیروگاه‌های حرارتی می‌تواند اثر قابل توجهی داشته باشد.

در حل مسائل همراه با تنش حرارتی، کرنش‌های مربوط به تنش و درجه حرارت با هم ترکیب می‌شوند، و باید در روابط تنش-کرنش تجدید نظر نمود اگر یک المان طولی کوچک به طول L تحت تغییر درجه حرارت $T(x,y)$ قرار گیرد، تغییر طول آن برابر خواهد شد با؛

$$\delta L = \alpha L T$$

که در آن α عدد مثبتی است و ضریب انبساط حرارتی خطی نامیده می‌شود. در نتیجه در این حالت کرنش حرارتی ϵ_t برابر می‌شود با؛

$$\epsilon_t = \alpha T \quad (4-29)$$

کرنش کلی ϵ_x و ϵ_y یک المان، با جمع کرنش حرارتی و کرنش ناشی از تنش بدست می‌آید؛

$$\epsilon_x = \frac{1}{E} (\sigma_x - \nu \sigma_y) + \alpha T$$

$$\epsilon_y = \frac{1}{E} (\sigma_y - \nu \sigma_x) + \alpha T \quad (4-30)$$

$$\gamma_{xy} = \tau_{xy}/G$$

چون انبساط آزاد حرارتی، در یک جسم ایزوتروپیک تغییرات زاویه‌ای ایجاد نمی‌کند، تغییر درجه حرارت اثری در کرنش زاویه‌ای نخواهد داشت. رابطه (4-30) برای حالت تنش صفحه‌ای نوشته شده است، و برای حالت کرنش صفحه‌ای رابطه مشابهی بدست می‌آید. معادلات دیفرانسیل تعادل، (4-4)، در مسائل ترموالاستیسیته بدون تغییر باقی می‌مانند. در مورد روابط کرنش-تغییر مکان، و روابط سازش نیز این امر صادق است. در نتیجه برای هر حالت خاص شرایط مرزی روابط ترموالاستیسیته و روابط الاستیسیته فقط در روابط تنش-کرنش اختلاف دارند.

با جایگذاری کرنش‌ها از روابط (4-30) در روابط سازش (4-6)، و با استفاده از رابطه

(4-4) و صرفنظر کردن از نیروهای حجمی، رابطه سازش برحسب تنش به صورت زیر

$$\text{درمی آید؛} \\ \left(\frac{\partial^2}{\partial x^2} + \frac{\partial^2}{\partial y^2} \right) (\sigma_x + \sigma_y + \alpha E T) = 0 \quad (4-31)$$

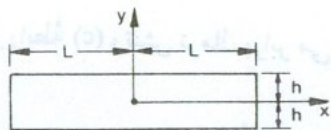
با استفاده از رابطه (4-11)، شرط تابع تنش در این حالت به صورت زیر خواهد بود؛

$$\nabla^4 \phi + \alpha E \nabla^2 T = 0 \quad (4-32)$$

در صورت صرفنظر کردن از نیروهای حجمی، این رابطه برای هر دو حالت تنش صفحه‌ای و کرنش صفحه‌ای صادق است. در مسائل ترموالاستیسیته وقتی می‌توان از روش جایگزینی استفاده کرد که توزیع تنش یا کرنش اثر قابل توجهی در میدان درجه حرارت نداشته، و توزیع تنش نیز اثر قابل توجهی در خواص مکانیکی جسم نداشته باشد. در غیر اینصورت روابط کوپل شده و راه حل ریاضی مسأله نسبتاً پیچیده خواهد شد.

مثال 4-3

تیر نازکی با ضخامت t ، ارتفاع $2h$ و طول $2L$ مطابق شکل (4-13) مفروض است. اگر تغییر درجه حرارت دلخواه $T = T(y)$ در جهت ارتفاع اتفاق افتد، تنش و کرنش ناشی از آن را پیدا کنید. فرض کنید تیر بدون بار است و نیروهای حجمی قابل صرفنظر کردن هستند.



شکل (4-13)

حل - شکل هندسی تیر نشان می دهد که مسأله حالت تنش صفحه ای است. فرض می شود حالت تنش در تیر به صورت زیر است؛

$$\sigma_x = \sigma_x(y) \quad , \quad \sigma_y = \tau_{xy} = 0 \quad (a)$$

با قرار دادن رابطه (a) در رابطه (4-4)، دیده می شود که رابطه تعادل برقرار است. رابطه سازش (4-31) با توجه به رابطه (a) به صورت زیر درمی آید؛

$$\frac{d^2}{dy^2} (\sigma_x + \alpha ET) = 0 \quad (b)$$

در نتیجه؛

$$\sigma_x = -\alpha ET + c_1 y + c_2 \quad (c)$$

که در آن c_1 و c_2 ثابتهای انتگرال هستند. شرط مرزی بدون بار بودن تیر در بدهای $y = \pm L$ از رابطه (b) برقرار است. شرط مرزی دیگر تیر بدینصورت است که نیروها و ممانهای دو انتهای $x = \pm L$ نیز باید صفر باشد. در نتیجه:

$$\int_{-h}^{+h} \sigma_x t dy = 0 \quad , \quad \int_{-h}^{+h} \sigma_x y t dy = 0 \quad (d)$$

با قرار دادن رابطه (c) در روابط (d) ثابتها برابر می شوند با؛

$$c_1 = \frac{3}{2h^3} \int_{-h}^{+h} \alpha ET y dy$$

$$c_2 = \frac{1}{2h} \int_{-h}^{+h} \alpha ET y dy$$

با قرار دادن این ثابتها در رابطه (c)، تنش نرمال برابر می شود با؛

$$\sigma_x = E\alpha \left[-T + \frac{t}{A} \int_{-h}^{+h} T dy + \frac{yt}{I} \int_{-h}^{+h} T y dy \right] \quad (4-33)$$

که در آن $A = 2th$ سطح مقطع تیر و $I = \frac{2h^3t}{3}$ ممان اینرسی مقطع است. کرنشهای مربوط به این تنش برابر خواهند شد با؛

$$\varepsilon_x = \frac{\sigma_x}{E} + \alpha T \quad , \quad \varepsilon_y = -\frac{\nu\sigma_x}{E} + \alpha T \quad , \quad \gamma_{xy} = 0 \quad (e)$$

تغییر مکانها را نیز می توان از روابط (4-1) بدست آورد.

از رابطه (4-33) دیده می شود که همانطور که انتظار می رود، برای توزیع درجه حرارت ثابت تنش صفر است. واضح است که در این حالت با توجه به رابطه (c) کرنشها و در نتیجه تغییر مکانها صفر خواهند بود. برای حالتی که درجه حرارت نسبتبه سطح میانی ($y=0$) فرینه است، $T(y) = T(-y)$ ، انتگرال آخری در رابطه (4-33) صفر می شود. همچنین برای حالت $T(y) = -T(-y)$ انتگرال اول رابطه (4-33) صفر خواهد شد.